(19) 日本国特許庁 (JP)

(12) 特 許 公 報(B2)

(11)特許番号

第2813713号

(45)発行日 平成10年(1998)10月22日

(24)登録日 平成10年(1998) 8月14日

Ν

(51) Int.Cl.6	離別記号	ा च
10171111414		1. 1

G 0 2 B 6/12 G 0 2 B 6/12 C 0 8 G 73/10 C 0 8 G 73/10

請求項の数1(全 9 頁)

最終頁に続く

(73)特許権者	99999999
	日本電信電話株式会社 東京都新宿区西新宿3丁目19番2号
(72)発明者	松浦 徹
	東京都千代田区内幸町1丁目1番6号
	日本電信電話株式会社内
(72)発明者	市野 敏弘
	東京都千代田区内幸町1丁目1番6号
	日本電信電話株式会社内
(72)発明者	西 史郎
	東京都千代田区内幸町1丁目1番6号
	日本電信電話株式会社内
(74)代理人	弁理士 中本 宏 (外2名)
審査官	福島・浩司
	(72)発明者 (72)発明者 (72)発明者 (74)代理人

(54) 【発明の名称】 ポリイミド系光導波路

(57)【特許請求の範囲】

【請求項1】テトラカルボン酸二無水物とジアミンから 得られるポリイミドを構成要素とするポリイミド系光導*

*波路において、該ポリイミドが、 下記の構造式1:

で表されるジアミン若しくはそれを含むジアミンからの ポリイミド、又はその混合物であることを特徴とするポ 10 リイミド系光導波路。

【発明の詳細な説明】

〔産業上の利用分野〕

本発明は光導波路に関し、特に耐熱性に優れたプラス チック系光導波路に関する。

〔従来の技術〕

低損失光ファイバの開発による光通信システムの実用 化に伴い、種々の光通信用部品の開発が望まれている。 またこれら光部品を高密度に実装する光配線技術、特に 光導波路技術の確立が望まれている。

一般に、光導波路には、①光損失が小さい、②製造が 容易、③コアとクラッドの屈折率差を制御できる、④耐

40

3

熱性に優れている、等の条件が要求される。

低損失な光導波路としては石英系が主に検討されてい る。光ファイバで実証済みのように石英は光透過性が極 めて良好であるため導波路とした場合も波長1.3μmに おいて0.1dB/cm以下の低損失化が達成されている。しか しその光導波路作製に長時間を必要とする、作製時に高 温が必要である、大面積化が困難であるなど製造上の問 題点がある。これに対してポリメチルメタクリレート (PMMA)などのプラスチック系光導波路は低い温度で成 形が可能であり、低価格が期待できるが耐熱性に劣る、 長波長で十分な低損失化が達成されていない、などの欠 点がある。

[発明が解決しようとする課題]

で表されるジアミン若しくはそれを含むジアミンからの ポリイミド、又はその混合物であることを特徴とする。

本発明においてはプラスチック中でも最も高い耐熱性 を有するポリイミドを光導波路のコア層、クラッド層の いずれか又は両方に用いることを特徴とする。ポリイミ ドの耐熱温度は300 以上であり、電子材料として重要 な特性であるハンダ耐熱性は十分に保持している。更に スピンコート法により、容易に大面積導波路が作製でき るという利点を持ち、導波路の低価格化が可能である。 またポリイミド導波路の作製温度は通常400 以下であ るため、石英、シリコーン以外にポリイミドなど既に電 気配線基板として使用されている汎用の基板上にも作製 30 できるという利点を有している。一方既に上市されてい るポリイミドは吸湿性が高く、使用時に屈折率が変化す ること、材料吸収による光損失が大きいことなどの欠点 がある。本発明者らは光導波路の適用を目指して種々の ポリイミドを合成して適用性を検討した結果、以下に示 すフッ素化ポリイミド群において良好な光導波路が形成 できることを見出した。すなわち、テトラカルボン酸二 無水物とジアミンから得られるポリイミドにおいて、前 記の構造式Iで表されるジアミン若しくはそれを含むジ アミンからのポリイミド又はその混合物を光導波路の構 成要素とすることが必要である。

本発明に用いるテトラカルボン酸二無水物としては、 例えばピロメリット酸二無水物、3,3 ,4,4 - ベンゾ フェノンテトラカルボン酸二無水物、3,3 ,4,4 - ビ フェニルテトラカルボン酸二無水物、2,2 - ビス (3,4 -ジカルボキシフェニル) - ヘキサフルオロプロパン二無 水物、トリフルオロメチルピロメリット酸二無水物、1. 4 - ジ(トリフルオロメチル)ピロメリット酸二無水 物、1,4 - ジ (ペンタフルオロメチル)ピロメリット酸 二無水物、ヘプタフルオロプロピルピロメリット酸二無 50

従来の技術で示したように石英系光導波路、プラスチ ック系光導波路とも問題点があり、現在のところ光導波 路に要求される上記4点の条件を満足する光導波路は得 られていない。

本発明は、屈折率差を自由にコントロールでき、製造 が容易でしかも耐熱性が良好な低損失光導波路を提供す ることを目的とする。

[課題を解決するための手段]

本発明を概説すれば、本発明はポリイミド系光導波路 に関する発明であって、テトラカルボン酸二無水物とジ アミンから得られるポリイミドを構成要素とするポリイ ミド系光導波路において、該ポリイミドが、下記の構造

水物等が挙げられる。この中でピロメリット酸のベンゼ ン環にフルオロアルキル基を導入した含フッ素酸二無水 物であるトリフルオロメチルピロメリット酸二無水物、 1,4 - ジ(トリフルオロメチル)ピロメリット酸二無水 物、1,4 - ジ(ペンタフルオロエチル)ピロメリット酸 二無水物、ヘプタフルオロプロピルピロメリット酸二無 水物等の製造方法は特願昭63 - 165056号明細書に記載さ れている。

また式Iで表されるジアミン以外のジアミンとして は、3,3 - ジメチル - 4,4 - ジアミノビフェニル、4, 4 - ジアミノ - p - テルフェニル等が挙げられる。式 Ⅰで表される2,2 - (ビストリフルオロメチル) - 4, 4 - ジアミノビフェニルの製造方法は、例えば日本化 学会誌、第1972巻、第3号、第675~676頁(1972)に記 載されている。

本発明に使用するポリイミドの前駆体であるポリアミ ック酸の製造方法は、通常のポリアミック酸の製造条件 と同じでよく、一般的にはN-メチル-2-ピロリド ン、N,N - ジメチルアセトアミド、N,N - ジメチルホルム アミドなどの極性有機溶媒中で反応させる。本発明にお いてはジアミンまたはテトラカルボン酸二無水物共単一 化合物で用いるばかりではなく、複数のジアミン、テト ラカルボン酸二無水物を混合して用いる場合がある。そ の場合は、複数又は単一のジアミンのモル数の合計と複 数又は単一のテトラカルボン酸二無水物のモル数の合計 が等しいかほぼ等しくなるようにする。

次に得られたポリアミック酸のイミド化によるポリイ ミドの合成であるが、通常のポリイミドの合成法が使用 できる。本発明においては、単一のポリアミック酸のイ ミド化のほか、複数のポリアミック酸を混合した状態で のイミド化を行い、ポリイミドの混合体も得ている。

本発明の光導波路の構造は、一般に製造されているす

べての光導波路と同様でよく、例えばファイバ型、平面 型、リッジ型、レンズ型、埋め込み型等がある。光導波 路のコア材とクラッド材の選択は、光の波長、使用用途 に適した屈折率の差になるようにすればよい。

リッジ型の製造方法について第1図を参照しつつ説明 する。すなわち第1図は本発明によるリッジ型光導波路 の作製方法の一例を示す工程図であって、符号1は基 板、2は下部クラッド層、3はコア層、4はアルミニウ ム層、5はレジスト層を意味する。シリコン等の基板1 の上に本発明の構成要素であるポリイミドが形成可能な ポリアミック酸を所定の厚さに塗布し、加熱することに より下部クラッド層2を得る。次いで下部クラッド層2 の上に下部クラッド層よりも屈折率の大きい本発明の構 成要素であるポリイミドが形成可能なポリアミック酸を 所定の厚さに塗布し、加熱することによりコア層3を得 る。次に蒸着によりアルミニウム層4をつけた後レジス ト塗布、プリベーク、露光、現像、アフターベークを行 い、パターニングされたレジスト層 5 を得る。アルミニ ウムをウェットエッチングにより除去した後、ポリイミ ドをドライエッチングにより除去する。最後に残ったア 20 における波長589nmでの屈折率を示した。なお表 1 にお ルミニウム層4をウェットエッチングで除去し、光導波 路を得る。このようにして下部クラッド層、コア層が本 発明の構成要素であるポリイミド、上部クラッド層が空

気層のリッジ型光導波路が得られる。

また第2図に示したように第1図のリッジ型光導波路 にコア層よりも屈折率の小さい本発明の構成要素である ポリイミドで構成される上部クラッド層6を形成するこ とにより、下部クラッド層、コア層、上部クラッド層と も本発明の構成要素であるポリイミドの埋め込み型光導 波路が得られる。すなわち第2図は、埋め込み型光導波 路の一例の断面図であり、符号1~3は第1図と同義、 6は上部クラッド層を意味する。

〔実施例〕

以下、いくつかの実施例を用いて本発明を更に詳しく 説明する。なお種々のポリイミドの組合せにより、また 光導波路構造により数限りない本発明のポリイミド系光 導波路が得られることは明らかであり、本発明はこれら の実施例のみに限定されるものではない。

本実施例に用いたポリイミド及びその混合物の熱分解 温度、屈折率を表1に示す。なお熱分解温度は窒素気流 下10 / 分の速度で昇温した時の10wt %重量減少時の温 度で示した。屈折率はアッベ型屈折率計を用いて、20 いて番号1~6はポリイミド単体、番号7~15はポリイ ミド共重合体、番号16~20はポリイミド混合物である。

7 表 1 - 1 本実施例で使用したポリイミドの特性

番号	酸無水物	ジアミン	熟分解温度 ℃(10%減)	屈折率
番号1	ピロメリット酸二無水物		610	1. 647
番号 2	3,3′,4,4′-ビフェニルテト ラカルボン酸二無水物		602	1. 663
番号 3	3,3′,4,4′-ベンゾフェノン テトラカルボン酸二無水物	2, 2′- ピス (トリフルオロ	585	1. 672
番号 4	2, 2-ビス (3, 4-シカルメキキシフュニル) - ヘキサフルオロフロハン 二無水物	メチル) -4, 4′-ジアミノ	569	1. 551
番号 5	ト リ フルオロメチルピロメリット酸二無水物	ピフェニル	584	1. 492
番号 6	1,4-ジ(トリフルオロメチ ル)ピロメリット酸二無水物		496	1. 503
番号7	番号1の酸無水物 10mol% 番号4の酸無水物 90mol%		529	1, 555
番号8	番号1の酸無水物 20mo1% 番号4の酸無水物 80mo1%		542	1. 560
番号 9	番号1の酸無水物 30mo1% 番号4の酸無水物 70mo1%	į	544	1. 565
番号10	番号1の酸無水物 40mol% 番号4の酸無水物 60mol%	Í	545	1. 570
番号11	番号1の酸無水物 50mo1% 番号4の酸無水物 50mo1%		541	1. 578
番号12	番号1の酸無水物 60mol% 番号4の酸無水物 40mol%		551	1, 583
番号13	番号1の酸無水物 70mo1% 番号4の酸無水物 30mo1%		557	1, 594
番号14	番号1の酸無水物 80mo1% 番号4の酸無水物 20mo1%		557	1. 605
番号15	番号1の酸無水物 90mol% 番号4の酸無水物 10mol%		598	1. 625

9 10 表 1 - 2 本実施例で使用したポリイミドの混合物の特性

番号	ポリイミド混合物	熱分解温度	屈折率
新		℃ (10%減)	
番号16	番号1のポリイミド 3 4 wt%	540	1. 572
留亏10	番号4のポリイミド 66wt%	546	
番号17	番号1のポリイミド 50wt%	EC1	1. 585
THE '7 11	番号4のポリイミド 50wt%	561	
番号18	番号1のポリイミド 6 6 wt%	500	1 (10
HB -2-10	番号4のポリイミド 34wt%	569	1.612
番号19	番号1のポリイミド 7 5 wt%	588	1 001
H 213	番号4のポリイミド 25 wt%		1, 621
番号20	番号1のポリイミド 80 wt%	EOG	1 000
187 57 20	番号4のポリイミド 20 wt%	598	1. 628

このように本実施例で用いたポリイミド及びその組成物は屈折率が1.49から1.65の間に細かく存在するため、これらを用いたコアとクラッドの屈折率差を自由に制御できる。また熱分解温度はすべて500以上と高く、ハンダにも十分に耐えるだけの耐熱性を有している。

表 1 に示したポリイミド及びその混合物を用いて作製した光導波路の実施例を示す。なお光伝搬損失は作製した光導波路に波長0.63 µ m、0.85 µ m及び1.3 µ mの光を通してストリーク光散乱法又はカットバック法で測定した。

実施例1

表面が酸化シリコン層である直径 3 インチのシリコン 様の方法で、下部クラッド層が酸化シリコン層、コア層 ヴェファに表 1 の番号 1 のポリイミドの前駆体であるポ が表 1 の番号 2 ~ 20 から選ばれたポリイミド、上部クラッド層が空気層の最も単純な平面型光導波路を得た。こ後の膜厚が10 μ mになるようにスピンコート法により塗 40 の光導波路に波長0.63 μ mの光を通してストリーク光散布した後最高温度350 で熱処理をした。このようにし 乱法で光伝搬損失を測定した。結果を表 2 に示す。

て下部クラッド層が酸化シリコン層、コア層が表1の番号1のポリイミド、上部クラッド層が空気層の最も単純な平面型光導波路が得られた。この光導波路に波長0.63μmの光を通してストリーク光散乱法で光伝搬損失を測30定した結果、0.85dB/cmであった。

実施例 2~20

実施例1において使用した表1の番号1のポリイミドの前駆体であるポリアミック酸のジメチルアセトアミド10wt%溶液の代りに表1の番号2~20から選ばれたポリイミド及びその混合物の前駆体であるポリアミック酸のジメチルアセトアミド10wt%溶液を用いて実施例1と同様の方法で、下部クラッド層が酸化シリコン層、コア層が表1の番号2~20から選ばれたポリイミド、上部クラッド層が空気層の最も単純な平面型光導波路を得た。この光導波路に波長0.63 μ mの光を通してストリーク光散乱法で光伝搬損失を測定した。結果を表2に示す。

表 2 平面型光導波路の光伝搬損失(波長 0.63μm)

実施例	導波路構造	下部クラッド	コア	上部クラッド	損失 (dB/cm)
実施例1	平面型	SiO ₂	番号1	空気	0.85
実施例2	华面型	SiO ₂	番号2	空気	0.80
実施例3	平面型	SiO ₂	番号3	空気	0. 82
実施例4	平面型	SiO ₂	番号 4	空気	0. 50
実施例 5	平面型	SiO ₂	番号 5	空気	0. 65
実施例 6	平面型	SiO ₂	番号 6	空気	0. 63
実施例7	平面型	SiO ₂	番号7	空気	0. 53
実施例8	平面型	SiO ₂	番号 8	空気	0. 56
実施例 9	平面型	SiO ₂	番号 9	空気	0.60
実施例10	平面型	SiO ₂	番号10	空気	0. 63
実施例11	平面型	SiO ₂	番号11	空気	0. 67
実施例12	平面型	SiO ₂	番号12	空気	0. 73
実施例13	平面型	SiO ₂	番号13	空気	0. 76
実施例14	平面型	SiO ₂	番号14	空気	0. 79
実施例15	平面型	SiO ₂	番号15	空気	0. 82
実施例16	平面型	SiO ₂	番号16	空気	0. 59
実施例17	平面型	SiO ₂	番号17	空気	0. 67
実施例18	平面型	SiO ₂	番号18	空気	0. 67
実施例19	平面型	SiO ₂	番号19	空気	0. 73
実施例20	平面型	SiO ₂	番号20	空気	0. 80

実施例21

表面が酸化シリコン層である直径3インチのシリコン ウェファに表 1 の番号15のポリイミドの前駆体であるポ リアミック酸のジメチルアセトアミド10wt%溶液を加熱 後の膜厚が30µmになるようにスピンコート法により塗 40 ッチングを行った。洗浄乾燥後ドライエッチング装置を 布した。この塗膜を最高温度350 で熱処理をして下部 クラッド層を形成した。引続いてこの下部クラッド層上 に表1の番号1のポリイミドの前駆体であるポリアミッ ク酸のジメチルアセトアミド10wt%溶液を加熱後の膜厚 が10 µ mになるようにスピンコート法により塗布した。 この塗膜を最高温度350 で熱処理をしてコア層を形成 した。次に電子ビーム蒸着機により、アルミニウムを0. 3μmつけた後レジスト加工を行った。まず通常のポジ 型レジストをスピンコート法により塗布した後約95 で プリベークを行った。次に線幅10 μ m、長さ60mmのパタ 50

一ン形成用マスクを通して超高圧水銀ランプを用いて紫 外線を照射した後ポジ型レジスト用の現像液を用いて現 像した。その後135 でアフターベークをした。次にレ ジストでコートされていないアルミニウムのウェットエ 用いてポリイミドのRIE加工を行った。最後にポリイミ ドの上層にあるアルミニウムを上記したエッチング液で 除去し、下部クラッド層が表1の番号15のポリイミド、 コア層が表1の番号1のポリイミド、上部クラッド層が 空気層のリッジ型光導波路が得られた。この光導波路に 波長0.85 µ mの光を通してカットバック法で光伝搬損失 を測定した結果、0.70dB/cmであった。また波長1.3 µ m での光伝搬損失は0.3dB/cmであった。

実施例22~40

実施例21において下部クラッド層として使用した表 1

の番号15のポリイミドの前駆体であるポリアミック酸の ジメチルアセトアミド10wt%溶液の代りに表1の番号8 ~14から選ばれたポリイミドの前駆体であるポリアミッ ク酸のジメチルアセトアミド10wt%溶液を用い、またコ ア層として使用した表1の番号1のポリイミドの前駆体 であるポリアミック酸のジメチルアセトアミド10wt%溶 液の代りに表1の番号1及び12~14から選ばれた下部ク* * ラッド層よりも屈折率の大きいポリイミドの前駆体であるポリアミック酸のジメチルアセトアミド10wt%溶液を用いて実施例21と同様の方法で下部クラッド層、コア層共表1の番号1及び8~14から選ばれたポリイミド、上部クラッド層が空気層のリッジ型光導波路を得た。この光導波路に波長0.85μmの光を通してカットバック法で光伝搬損失を測定した。結果を表3に示す。

表3 リッジ型光導波路の光伝搬損失(波長 0.85μm)

実施例	導波路構造	下部クラッド	コア	上部クラッド	損失 (dB/cm)
実施例21	リッジ型	番号 15	番号1	空気	0. 70
実施例22	リッジ型	番号14	番号1	空気	0. 70
実施例23	リッジ型	番号 1 3	番号1	空気	0.71
実施例24	リッジ型	番号12	番号1	空気	0, 71
実施例25	リッジ型	番号11	番号 1	空気	0. 70
実施例26	リッジ型	番号10	番号 1	空気	0. 72
実施例27	リッジ型	番号13	番号14	空気	0. 65
実施例28	リッジ型	番号12	番号14	空気	0. 65
実施例29	リッジ型	番号11	番号14	空気	0.66
実施例30	リッジ型	番号10	番号 1 4	空気	0. 67
実施例31	リッジ型	番号 9	番号14	空気	0. 67
実施例32	リッジ型	番号 8	番号14	空気	0. 66
実施例33	リッジ型	番号12	番号13	空気	0. 63
実施例34	リッジ型	番号11	番号13	空気	0.64
実施例35	リッジ型	番号10	番号13	空気	0. 63
実施例36	リッジ型	番号 9	番号13	空気	0.64
実施例37	リッジ型	番号11	番号12	空気	0.60
実施例38	リッジ型	番号10	番号12	空気	0.60
実施例39	リッジ型	番号 9	番号12	空気	0, 61
実施例40	リッジ型	番号8	番号12	空気	0. 61

実施例41~60

実施例21~40において作製したリッジ型光導波路の上に下部クラッド層と同様のポリイミドの前駆体であるポリアミック酸のジメチルアセトアミド10wt%溶液を加熱後の膜厚が30μmになるようにスピンコート法により塗布した。この塗膜を最高温度350で熱処理して上部クラッド層を形成した。このようにして下部クラッド層、

コア層、上部クラッド層共本発明の構成要素であるポリイミドを用いた埋め込み型光導波路が得られた。この光導波路に波長 0.85μ mの光を通してカットバック法で光伝搬損失を測定した。結果を表 4 に示す。また実施例41 の光導波路の波長 1.3μ mでの光伝搬損失は0.1 dB/cmであった。

14

15 16 表 4 埋め込み型光導波路の光伝搬損失(波長 (). 8 5 μm)

					
実施例	導波路構造	下部クラッド	コア	上部クラッド	損失 (dB/cm)
実施例41	埋め込み型	番号 1 5	番号1	番号15	0.15
実施例42	埋め込み型	番号14	番号1	番号14	0. 15
実施例43	埋め込み型	番号13	番号1	番号13	0, 16
実施例44	埋め込み型	番号12	番号1	番号12	0, 16
実施例45	埋め込み型	番号 1 1	番号1	番号 1 1	0, 17
実施例46	埋め込み型	番号10	番号1	番号10	0. 17
実施例47	埋め込み型	番号13	番号14	番号13	0, 12
実施例48	埋め込み型	番号12	番号14	番号12	0. 12
実施例49	埋め込み型	番号11	番号 1 4	番号11	0.12
実施例50	埋め込み型	番号10	番号14	番号10	0. 13
実施例51	埋め込み型	番号 9	番号14	番号 9	0.14
実施例52	埋め込み型	番号8	番号14	番号 8	0.14
実施例53	埋め込み型	番号12	番号13	番号12	0.11
実施例54	埋め込み型	番号11	番号13	番号11	0.11
実施例55	埋め込み型	番号10	番号13	番号10	0. 10
実施例56	埋め込み型	番号 9	番号13	番号 9	0. 11
実施例57	埋め込み型	番号11	番号12	番号11	0, 10
実施例58	埋め込み型	番号10	番号12	番号10	0. 11
実施例59	埋め込み型	番号 9	番号12	番号 9	0. 11
実施例60	埋め込み型	番号 8	番号12	番号 8	0.11

〔発明の効果〕

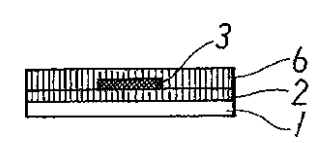
本発明によれば従来の石英系光導波路、プラスチック 系光導波路で得られていない屈折率差を自由にコントロ ールでき、製造が容易でしかも耐熱性が良好な低損失光 導波路を提供することができる。

【図面の簡単な説明】

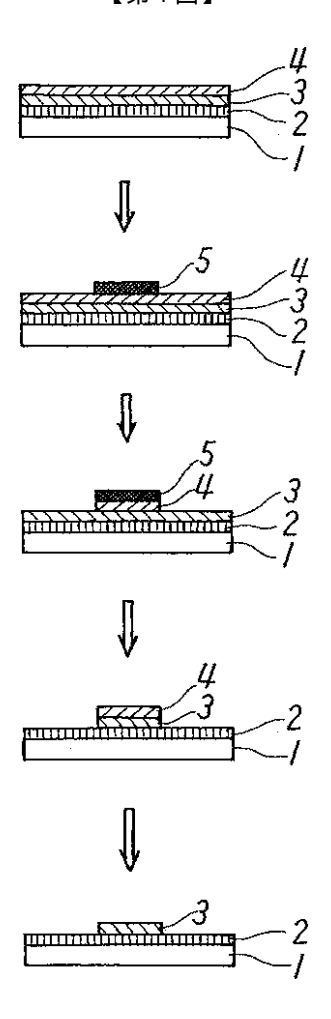
* 第1図は本発明によるリッジ型光導波路の作製方法の一例を示す工程図、第2図は埋め込み型光導波路の一例の断面図である。

1:基板、2:下部クラッド層、3:コア層、4:アルミニウム 40 層、5:レジスト層、6:上部クラッド層

【第2図】



【第1図】



フロントページの続き

(72)発明者 山本 二三男

東京都千代田区内幸町1丁目1番6号

日本電信電話株式会社内

(72)発明者 安藤 慎治

東京都千代田区内幸町1丁目1番6号 (58)調査した分野(Int.CI.⁶, DB名)

日本電信電話株式会社内

(72)発明者 佐々木 重邦

東京都千代田区内幸町1丁目1番6号

日本電信電話株式会社内

G02B 6/12 C08F 73/10